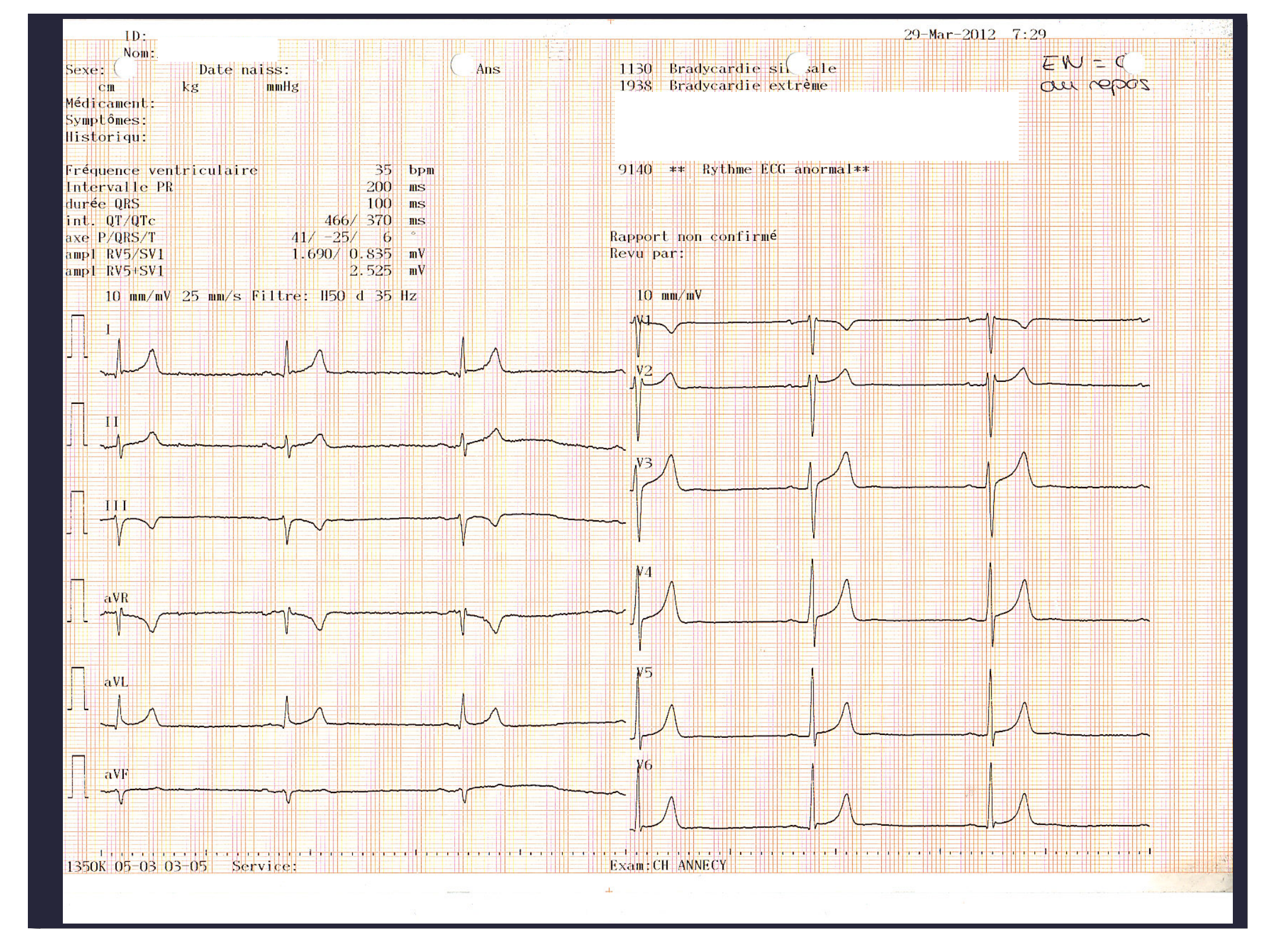
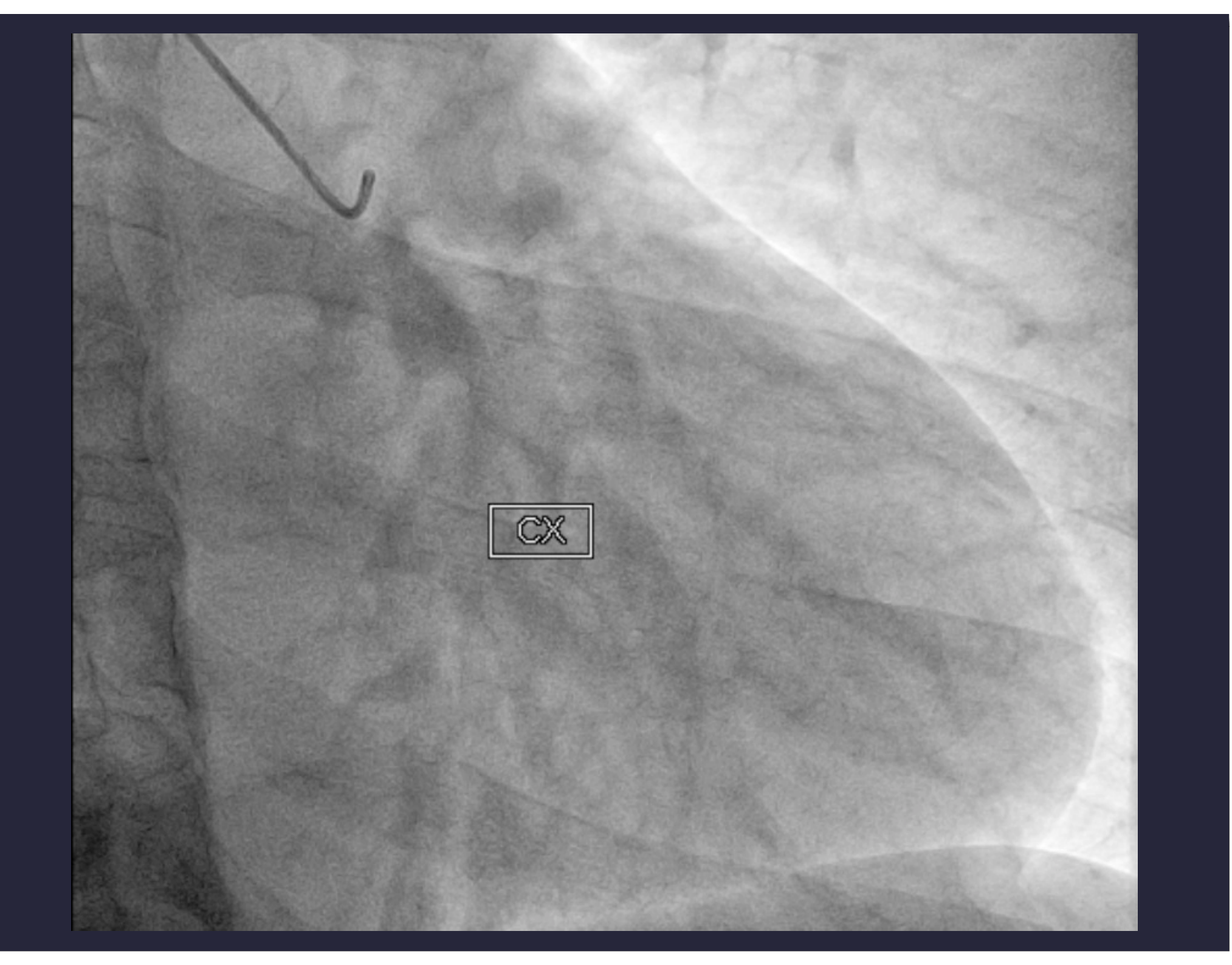
Douleur thoracique (lors de la remise des prix d'une compétition de VTT) chez un sportif de 36 ans

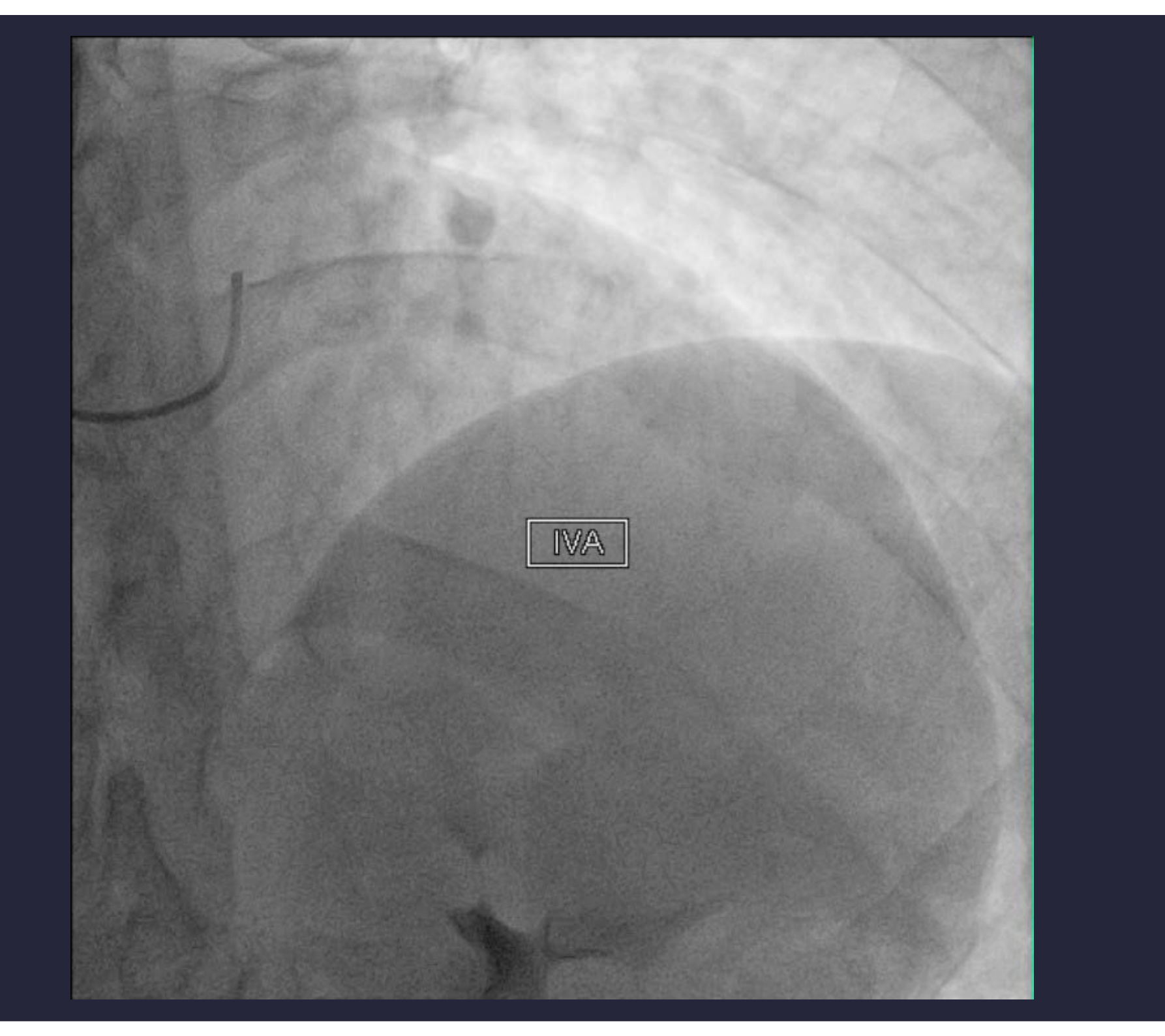


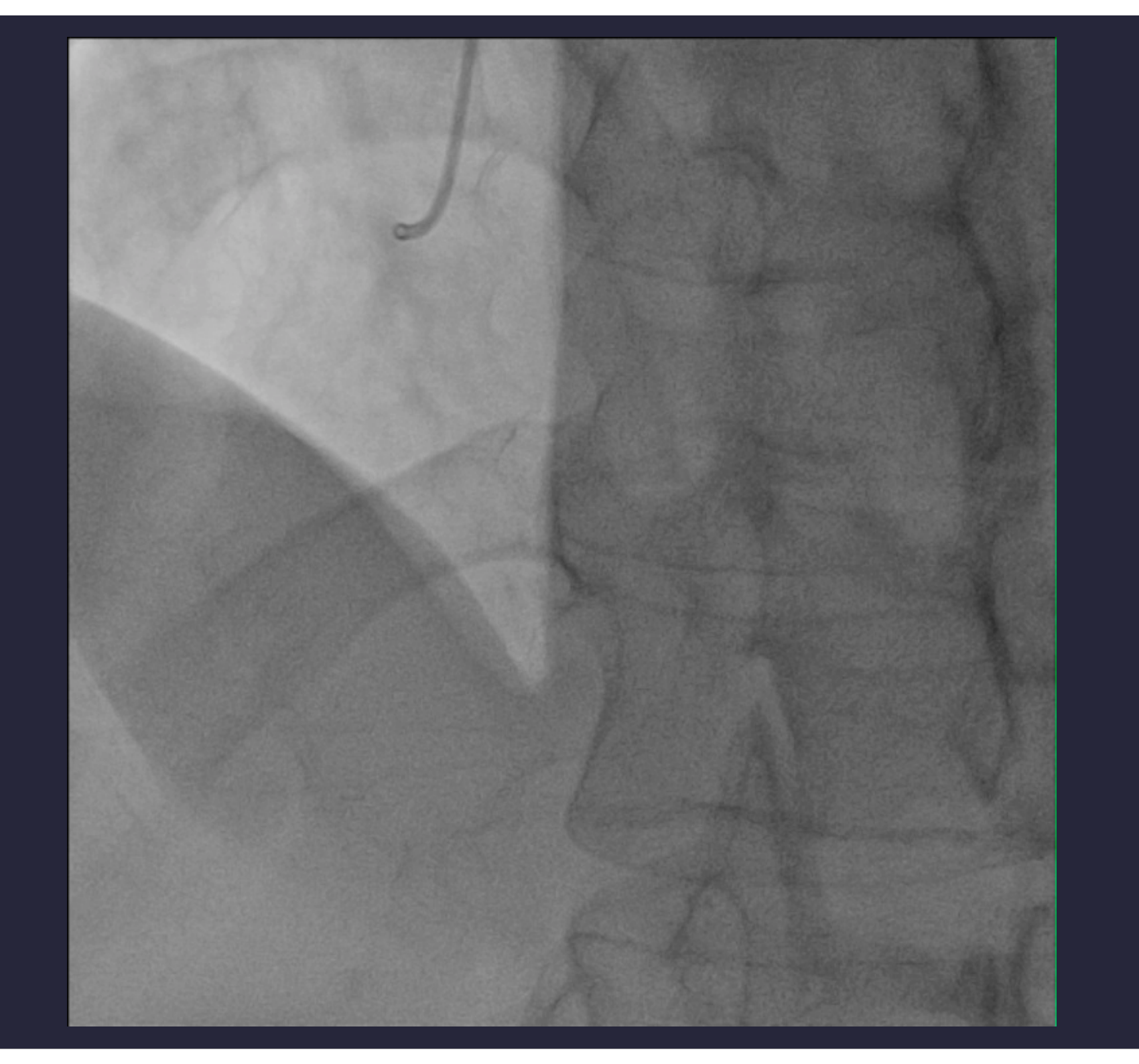
- Patient de 36 ans sans antécédent
- Violente douleur retrosternale constrictive à irradiation bibrachiale après un effort sportif de compétition de VTT (après la remise des prix)
- PEC à J+3, USIC du Ch d'annecy
- Examen clinique négatif, rythme sinusal spontanément à 35 bpm, PA 106/60 mmHg
- Absence de FRCV à l'interrogatoire, pas de prise d'agent pharmacologique dopant ou de stupéfiant

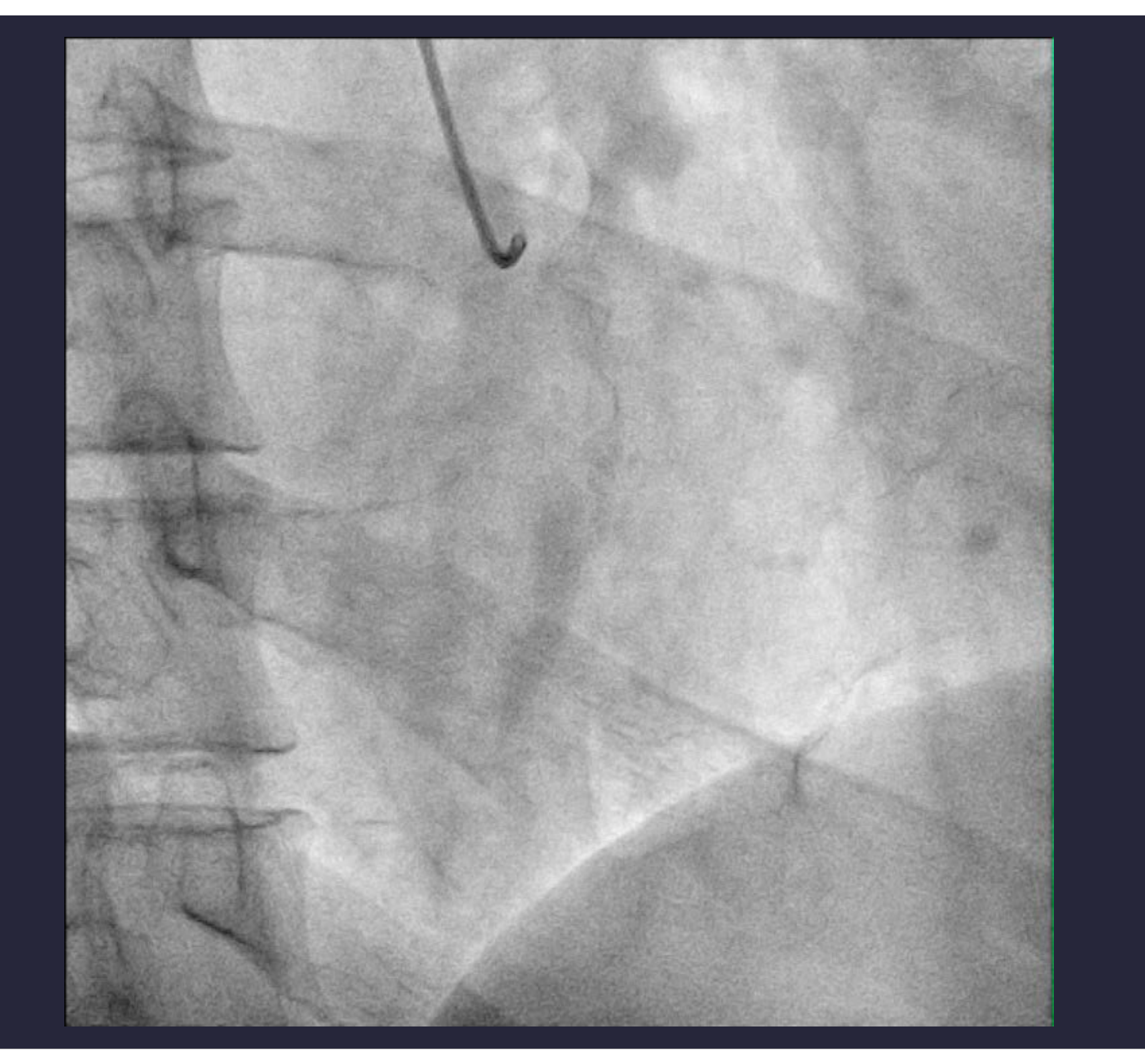


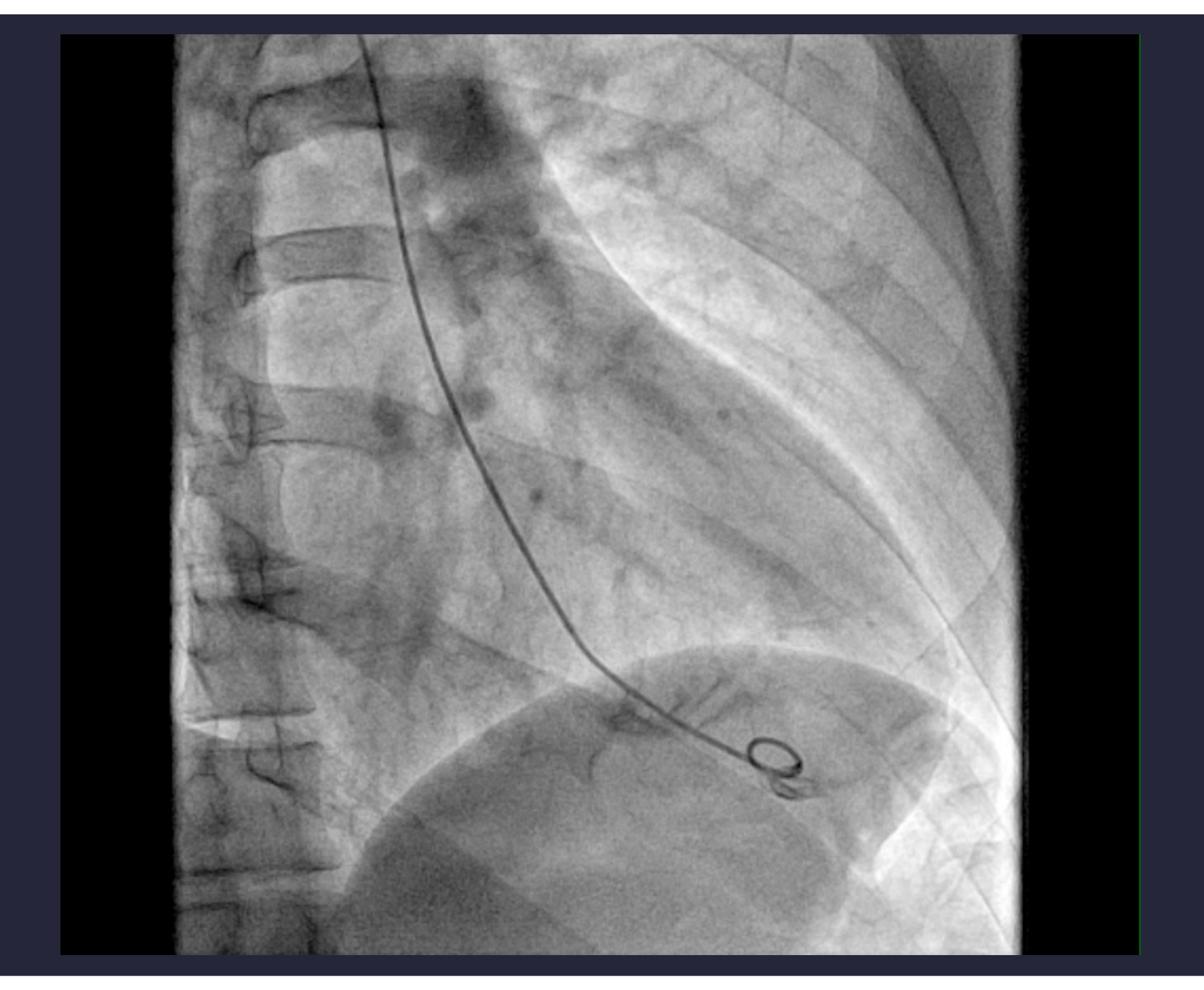
- ETT : VG normal, sans trouble de la fonction contractile globale ou segmentaire, péricarde sec, VDt normal
- Biologiquement : Troponine à 25, pic CPK à 350. LDL 1;4 g/l, HDL 0,65 et HbA1c 5,5%. CRP à 12mg/ml
- Ac anticardiolipides et anti B2 glyoprotéines, ANCA -
- Coronarographie





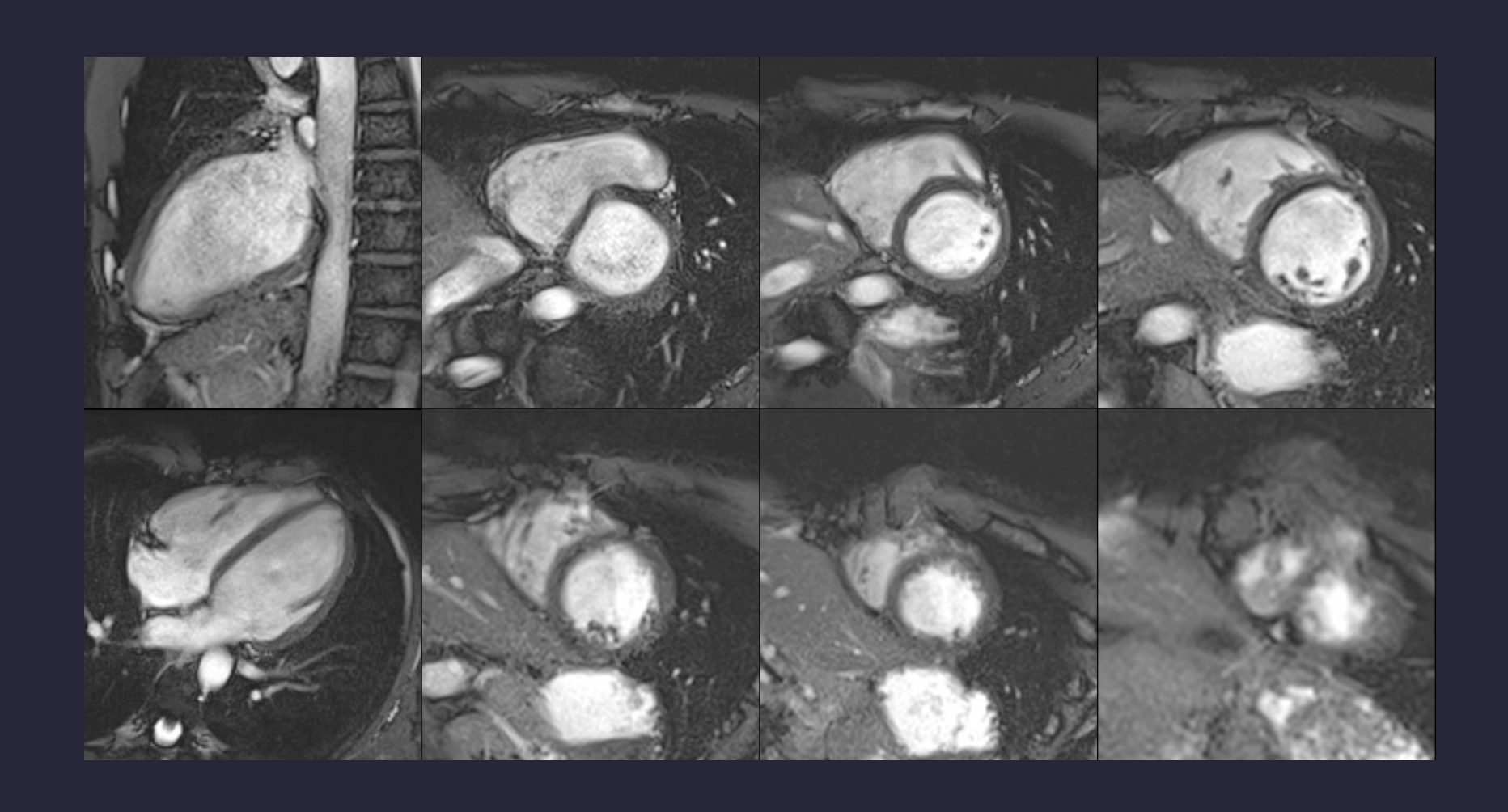




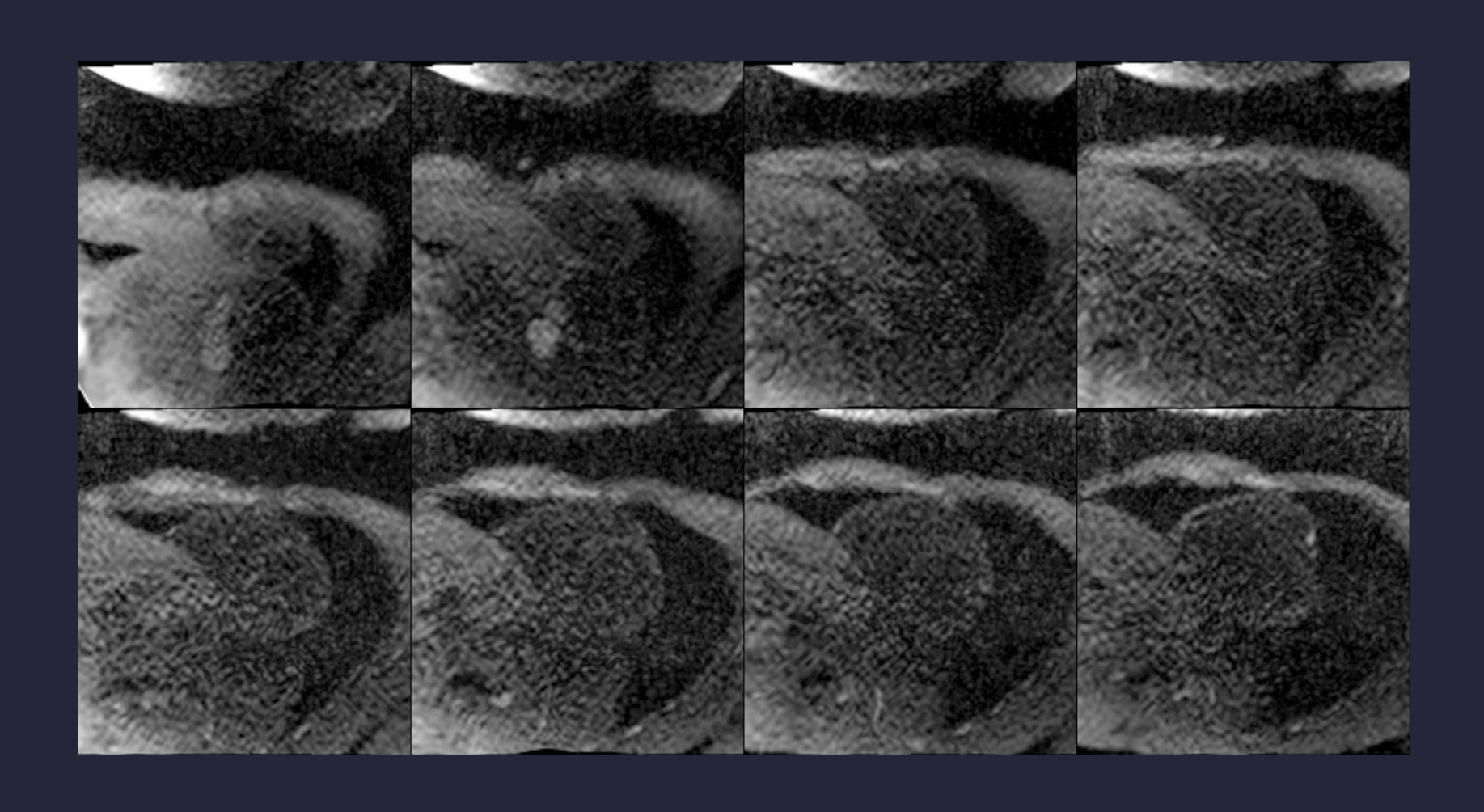


Quelles sont vos hypothèses dignostiques, Que proposez vous ? **IRM**

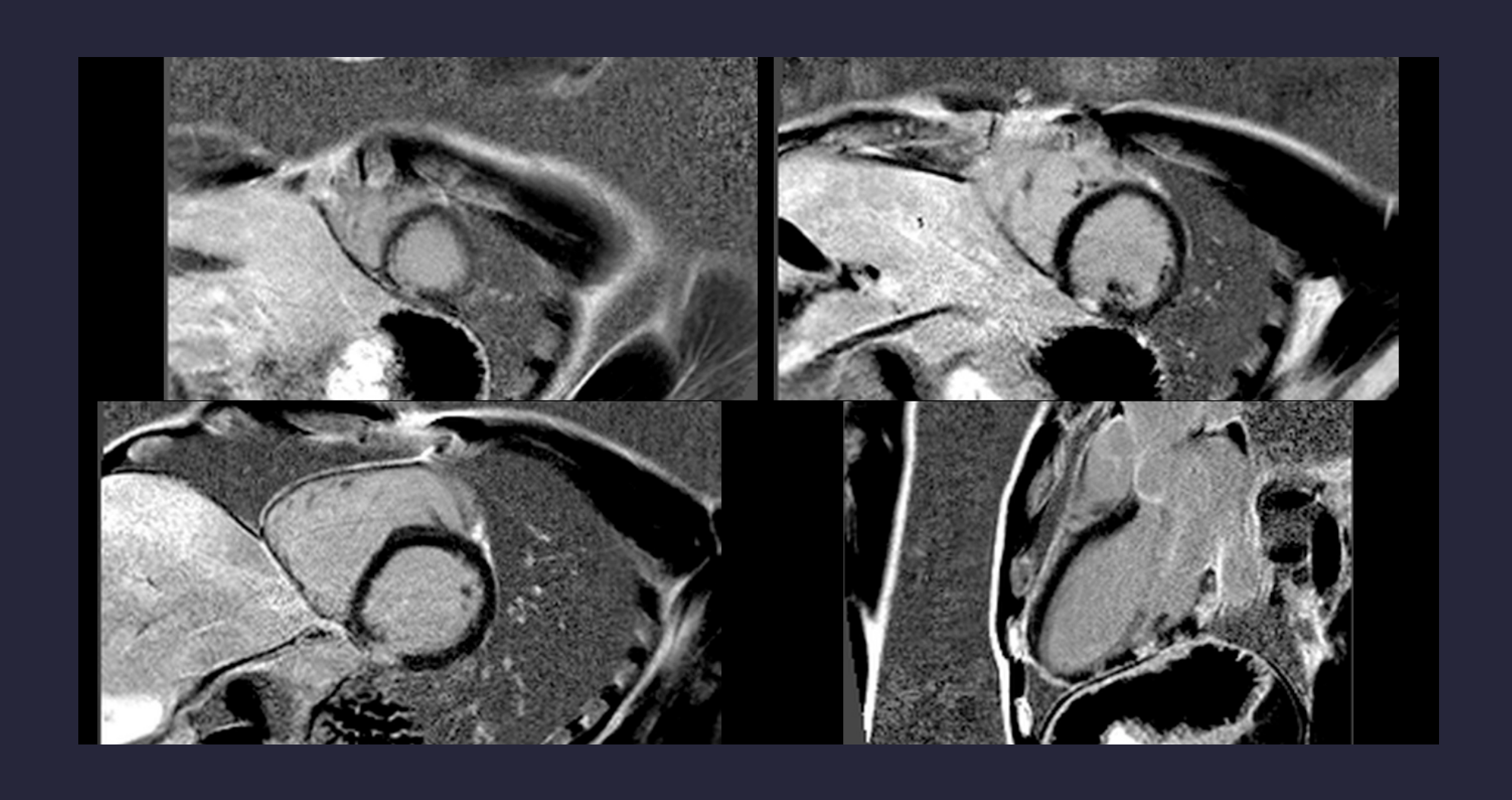
séquences CINE



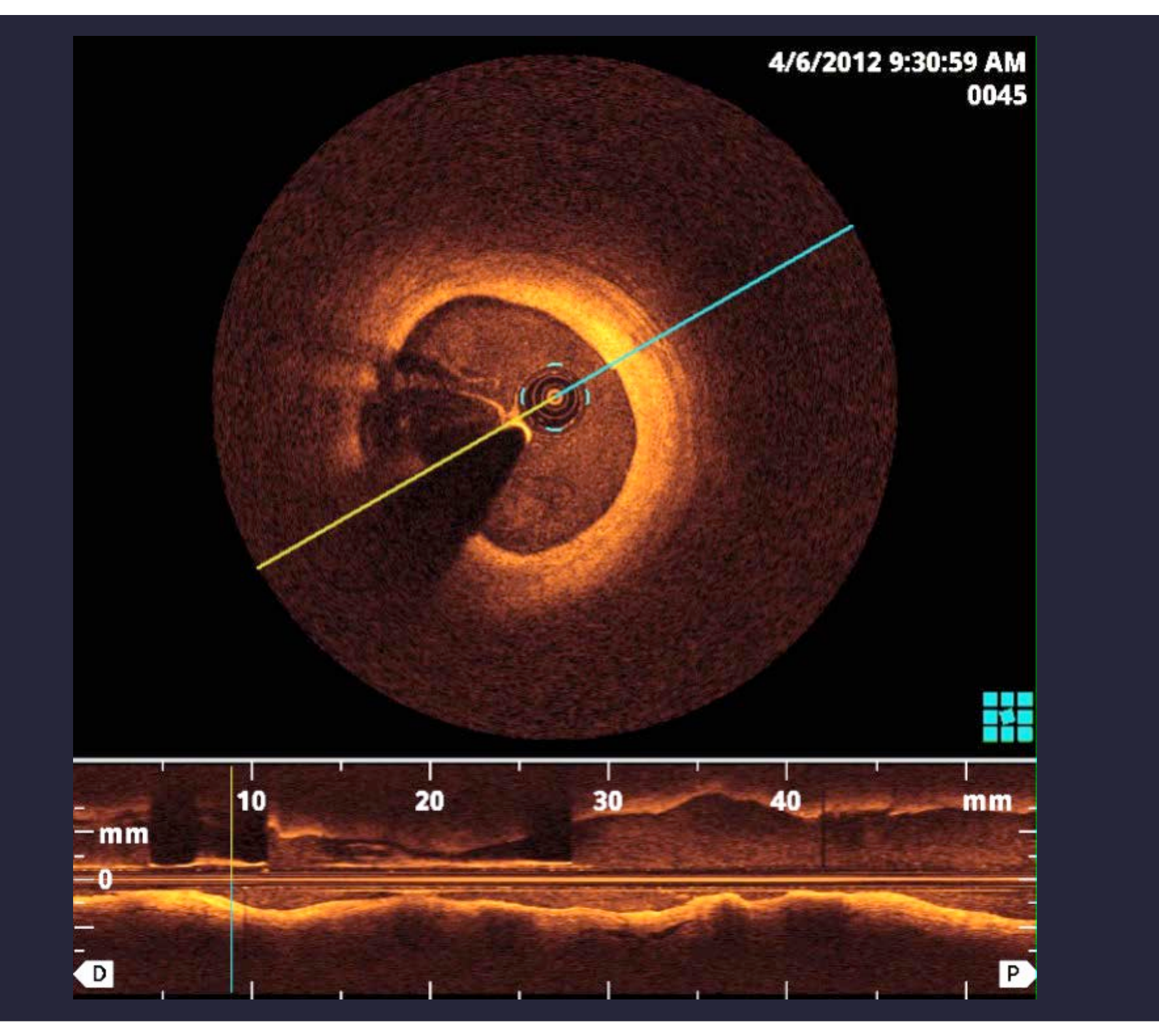
Séquences de perfusion

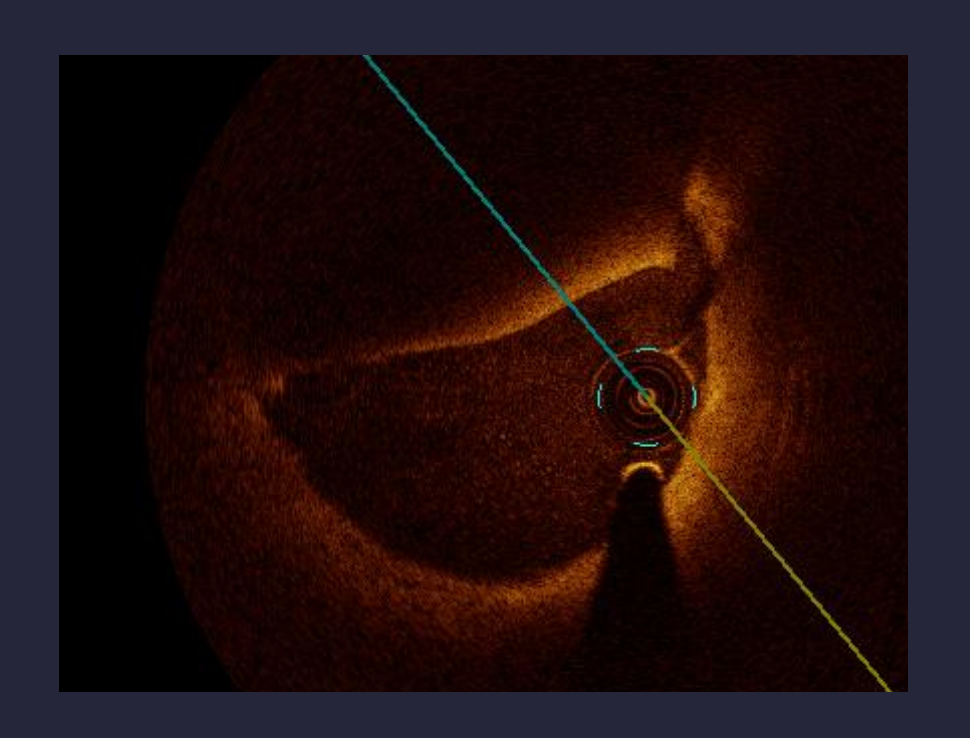


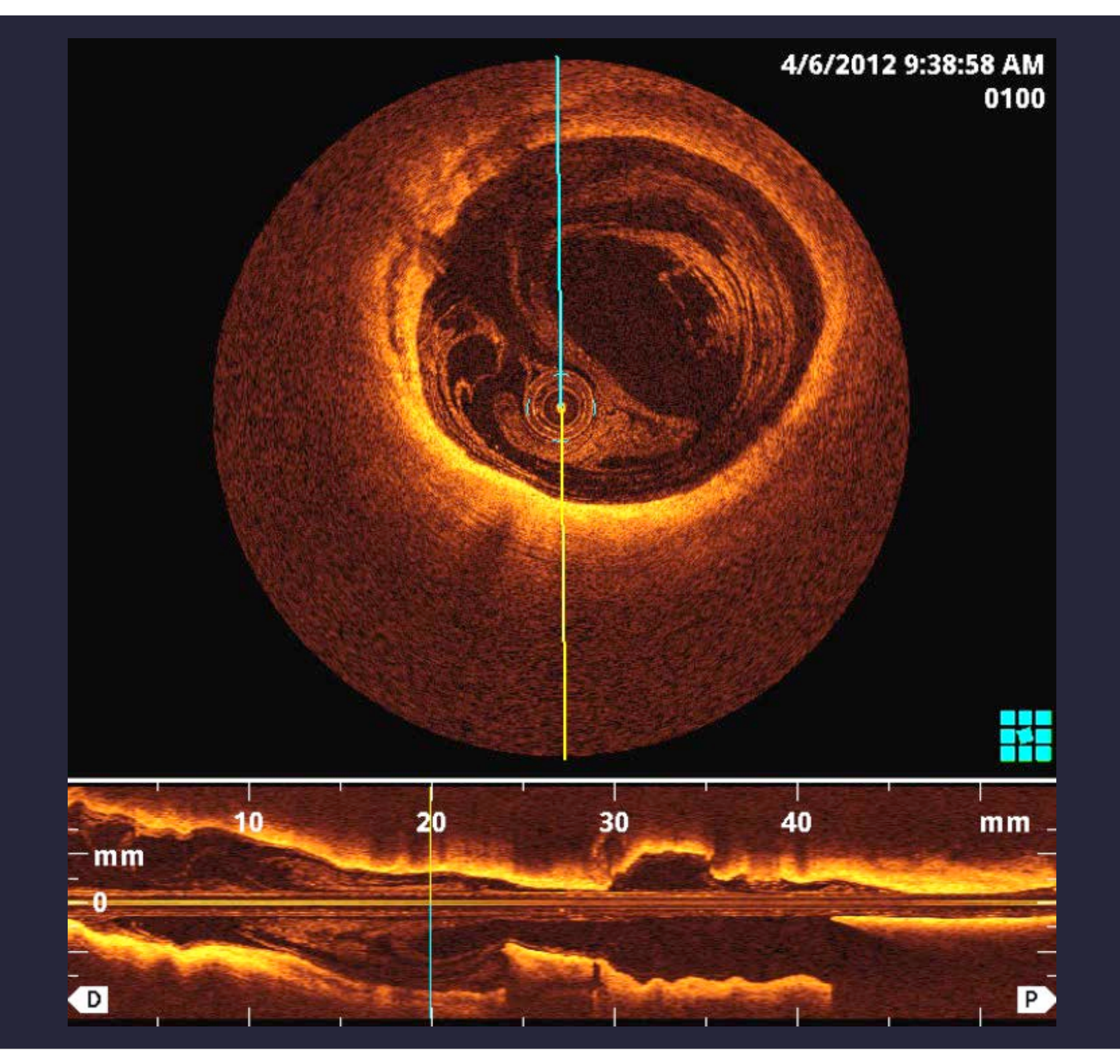
séquences de rétention tardive

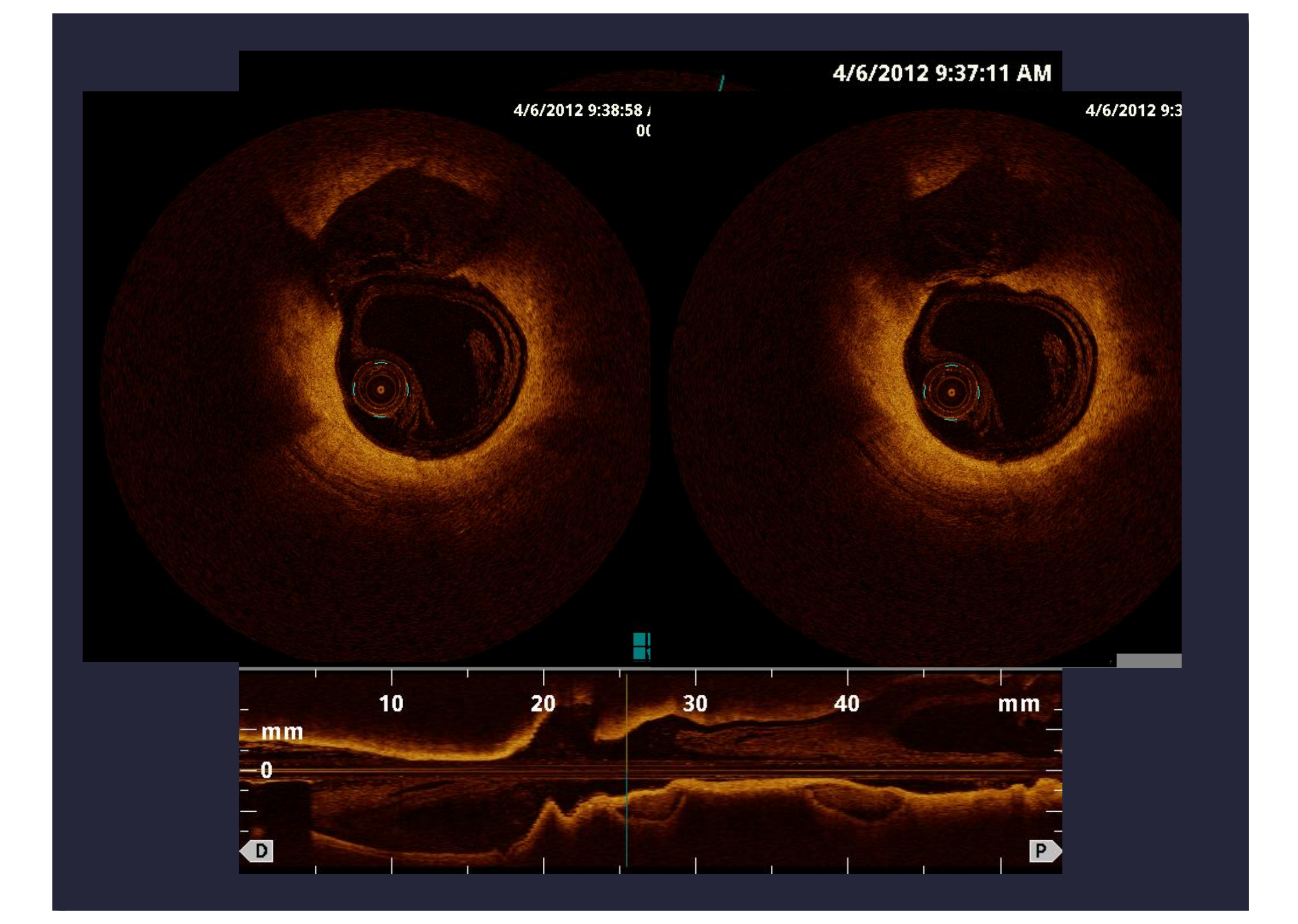


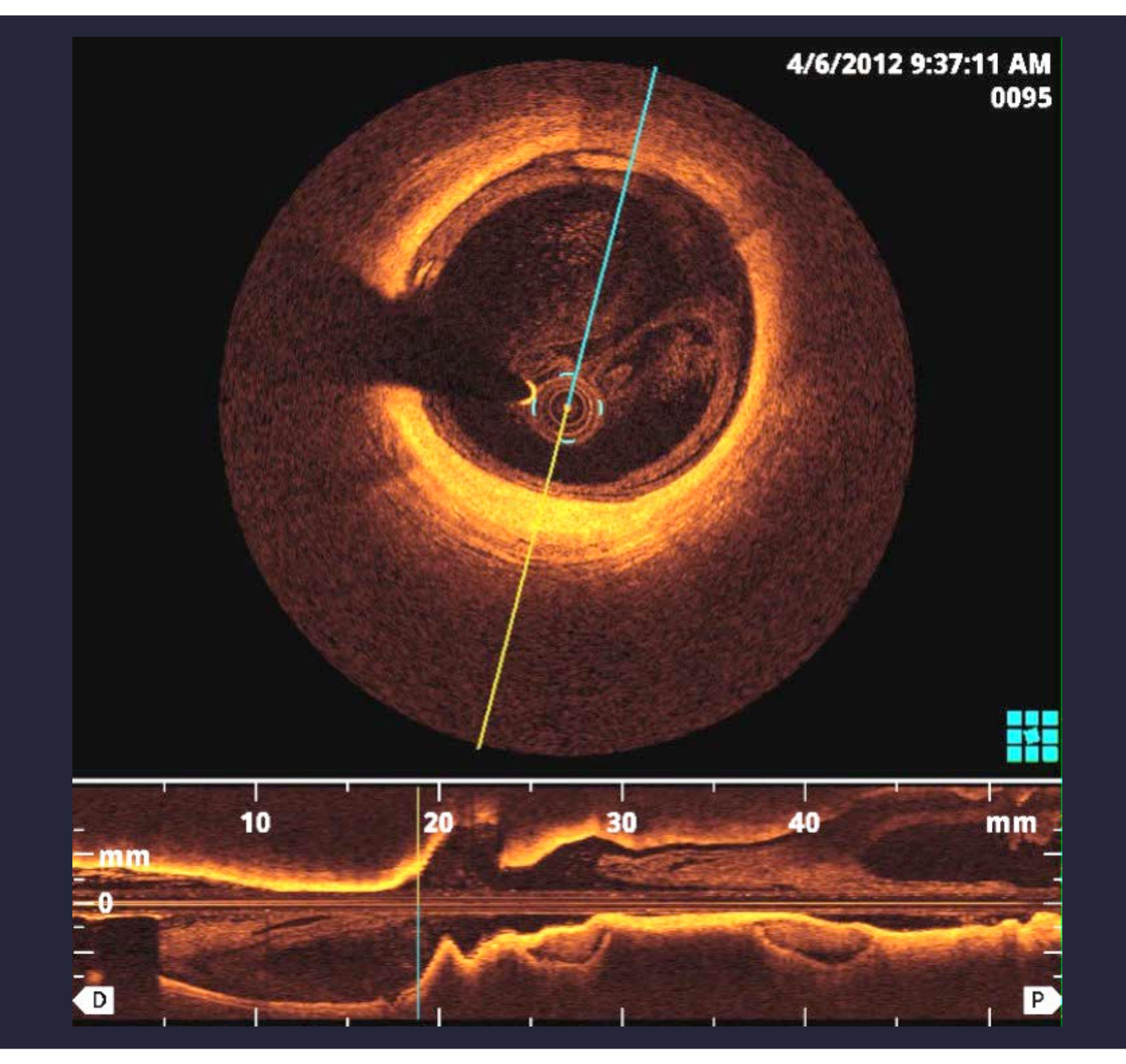
Que proposez vous?

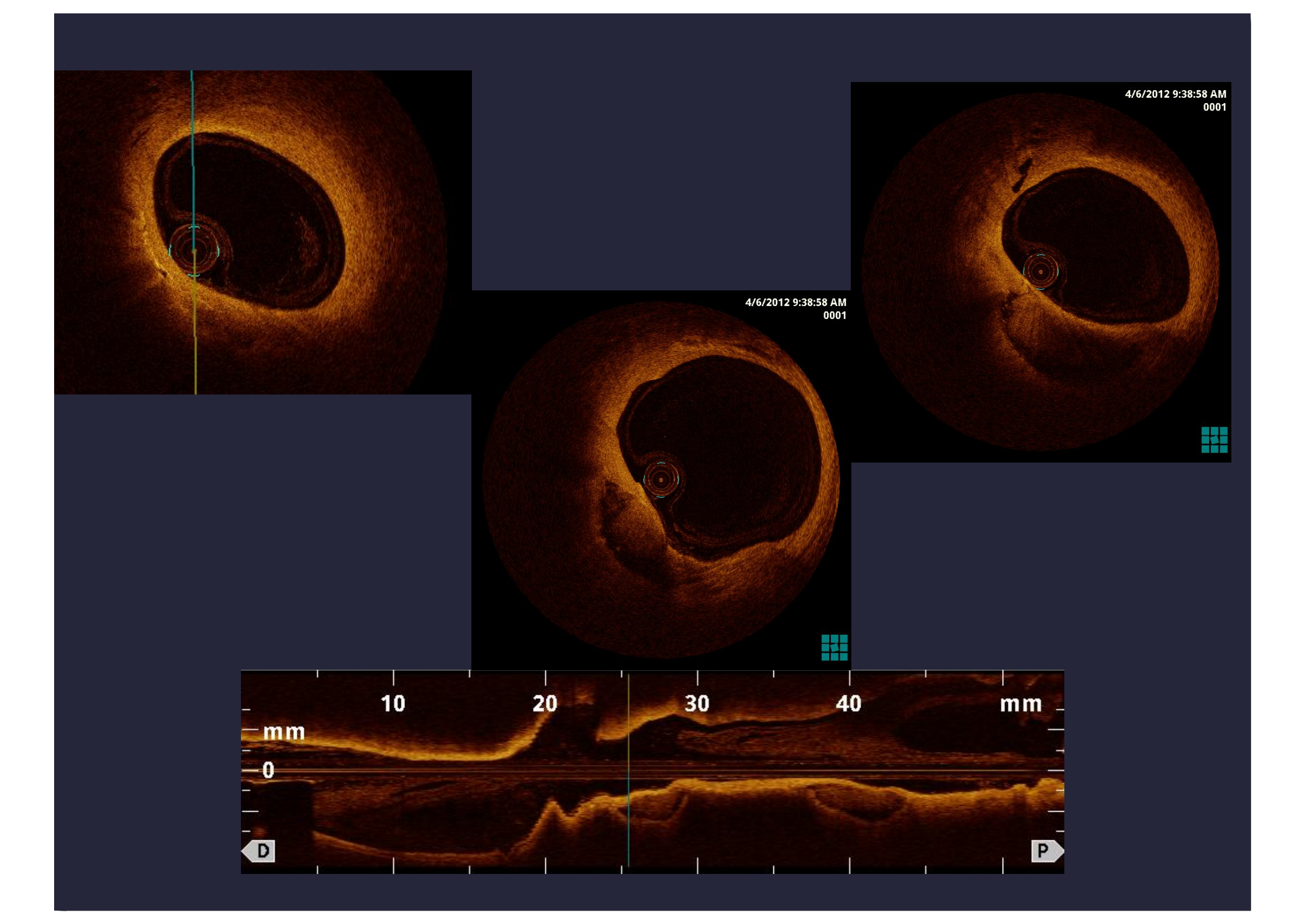


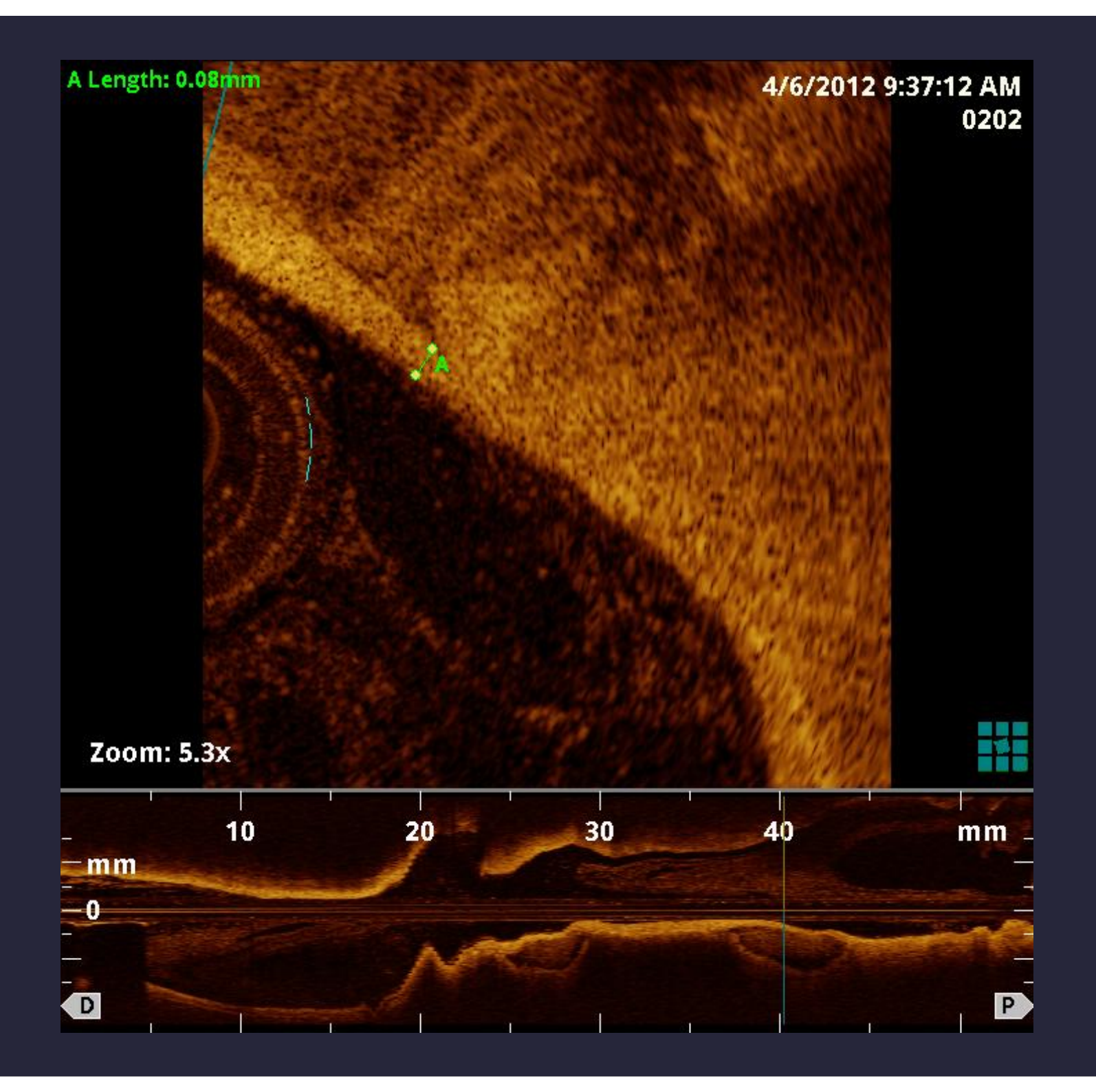


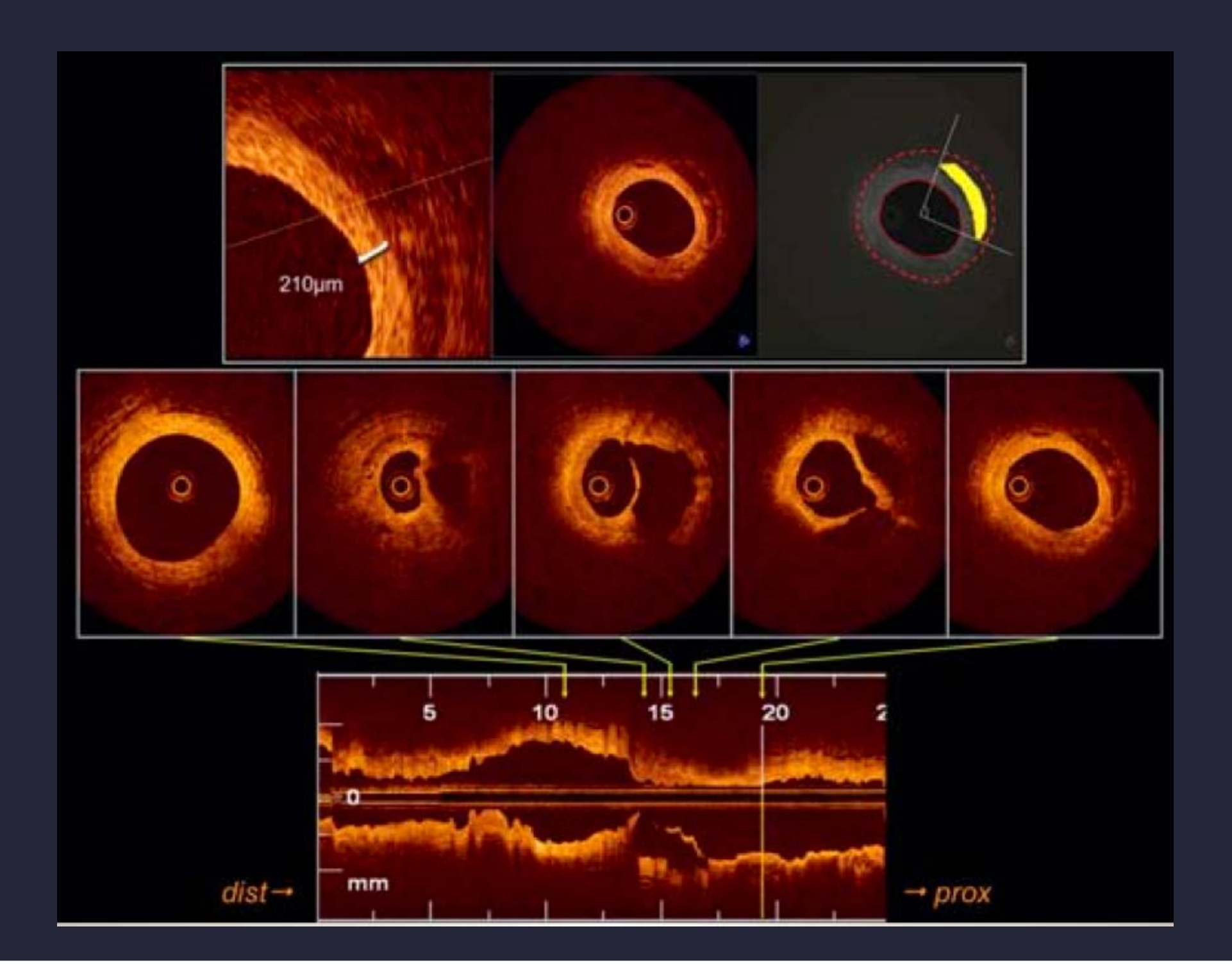




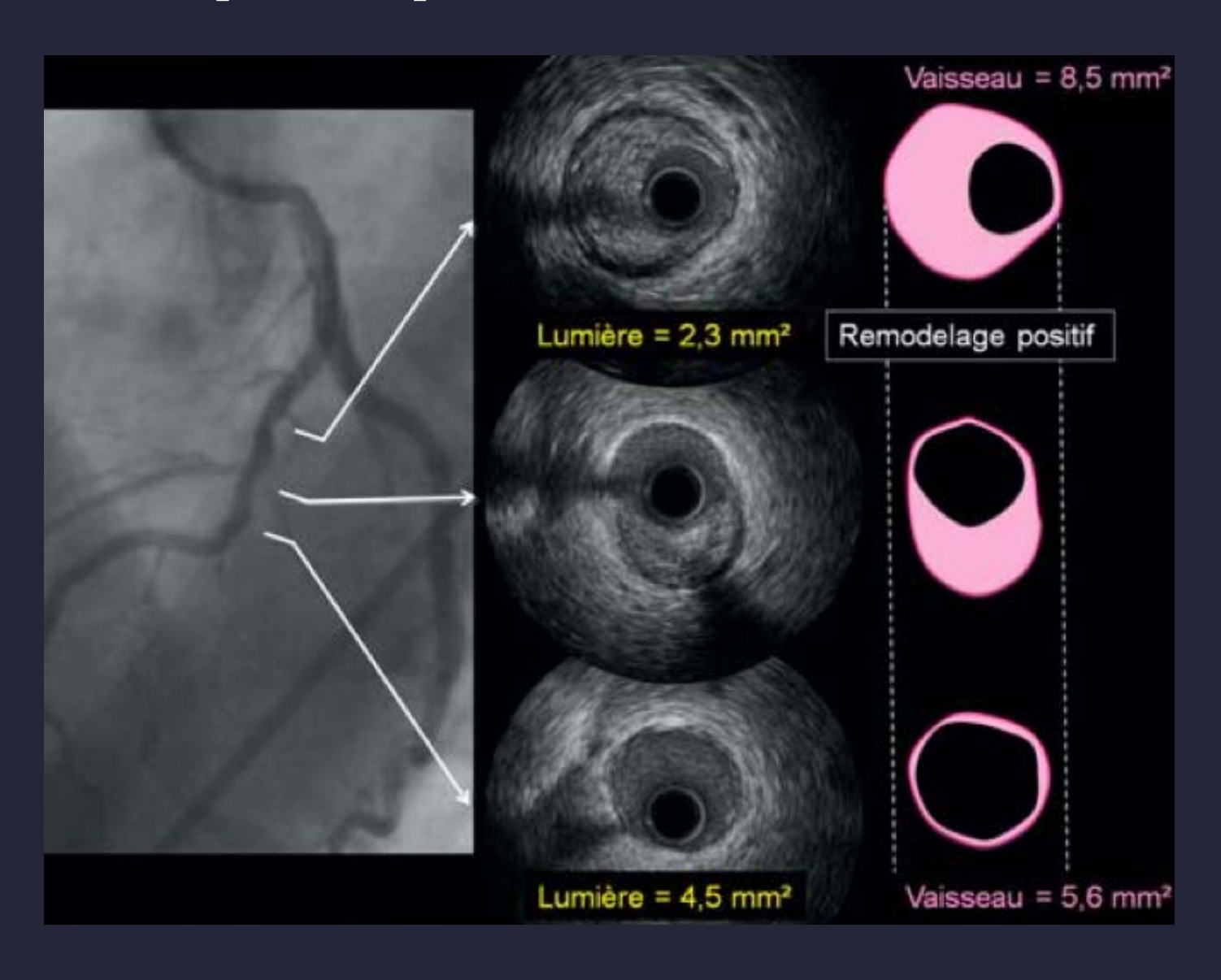






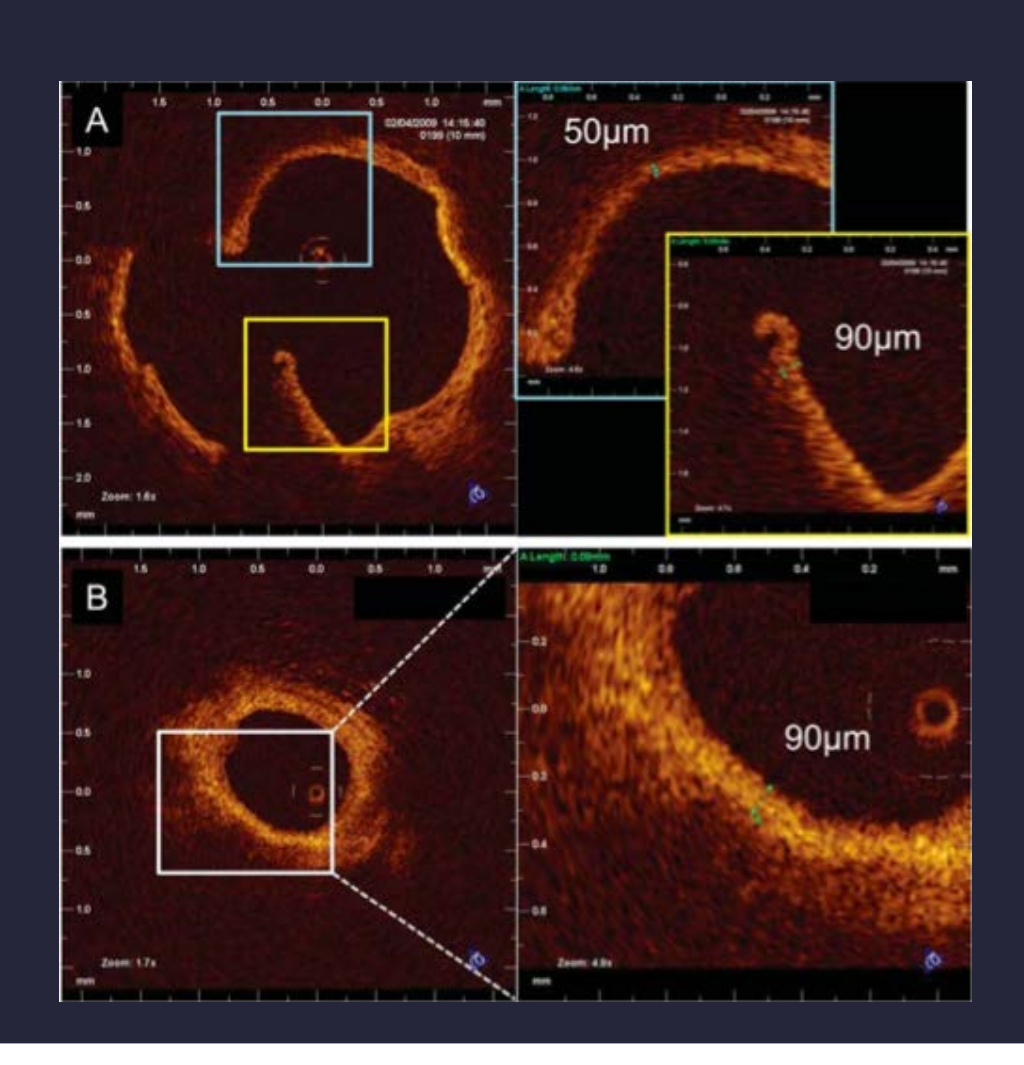


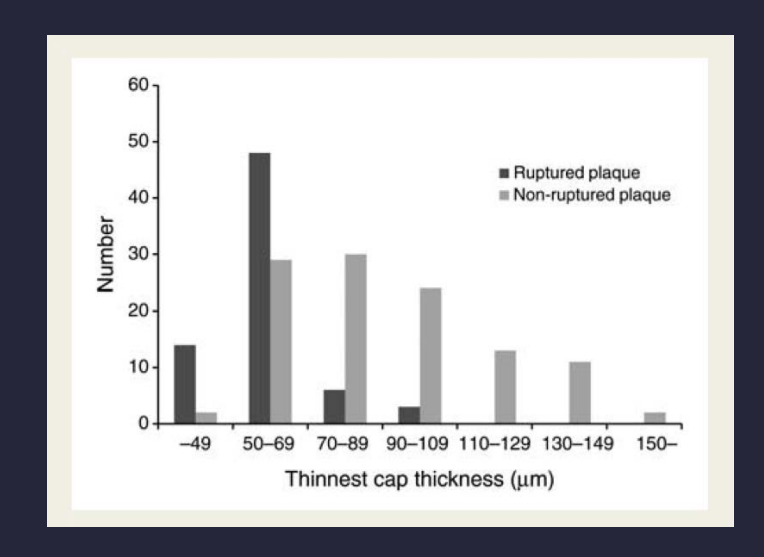
La plaque vulnérable

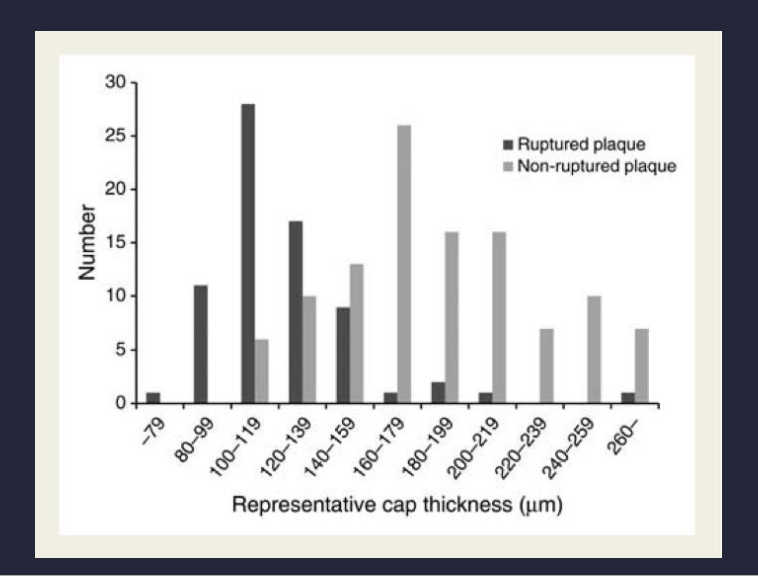


A partir de 182 plaques riches en lipides 71 rompues 111 non rompues

Taishi Yonetsu¹ European Heart Journal (2011) 32, 1251–1259







A partir de 182 plaques riches en lipides 71 rompues 111 non rompues

Taishi Yonetsu¹ European Heart Journal (2011) 32, 1251–1259

Table 3	Threshold	values	obtained	in	the	present
study						

	Thinnest cap thickness	Most representative cap thickness
Median value		
Ruptured plaque $(n = 71)$, μ m	54 (50-60)	116 (103–136)
Non-ruptured plaque (n = 111), μm	80 (67–104)	182 (156–216)
Value in 95% of ruptured plaque, μm	<80	<188
The best cut-off value in ROC analysis, µm	<67	<151

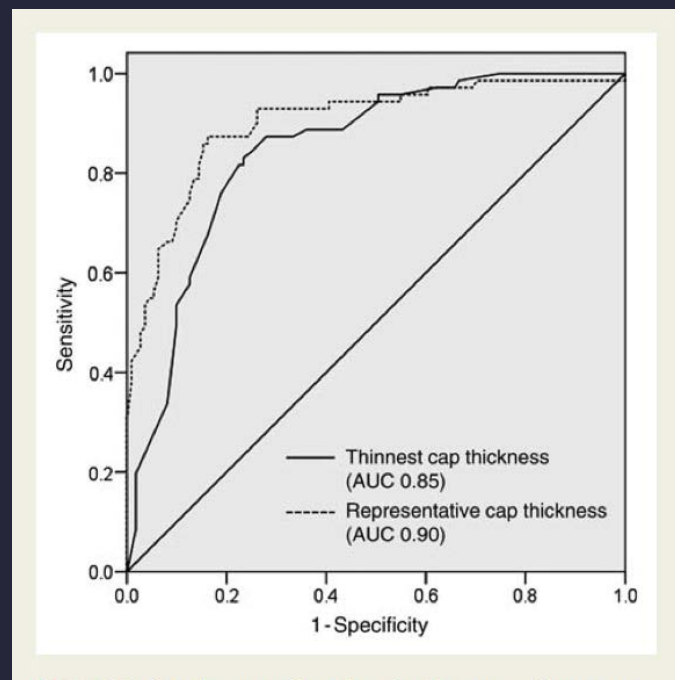
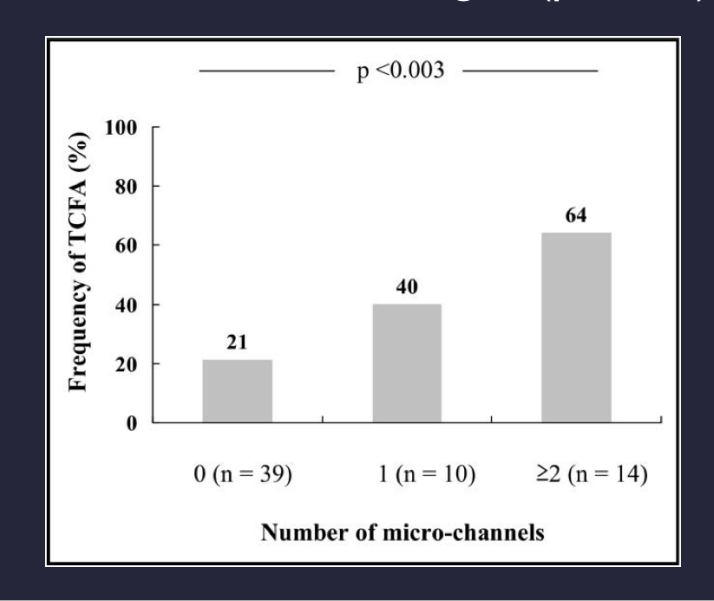


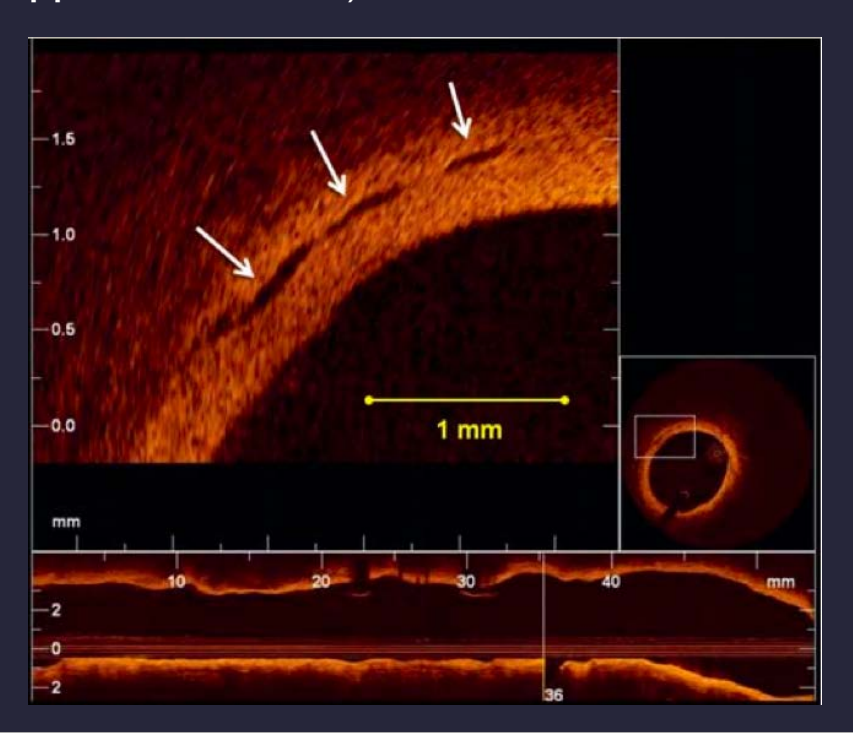
Figure 6 Receiver operating characteristic curves for measurements of fibrous cap thickness for prediction of fibrous cap rupture. AUC, area under the curve.

Microchenneaux

Hironori Kitabata, MD, Am J Cardiol 2010;105:1673–1678

- Remodelage positif: 67 vs 36% (p 0.02)
- présence dans 45% des SCA vs 21% si angor stable
- TCFA (plaque lipidique>2cadrants et chappe <70microns) 54 vs 21% 0.012
- CRPhs 0.27 vs 0.13 mg/dl (p 0.015)





Critères prédictifs de progression de plaque

Eur Heart J. 2012 Jan;33(1):78-85.

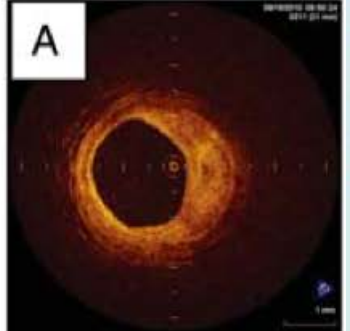
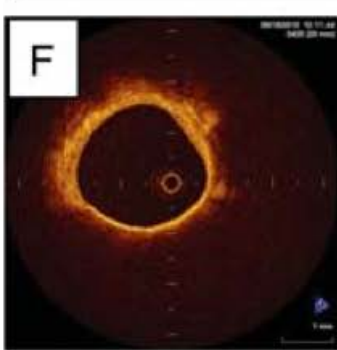


Table 4 Association of 10 optical coherence tomography-based plaque characteristics and subsequent progression



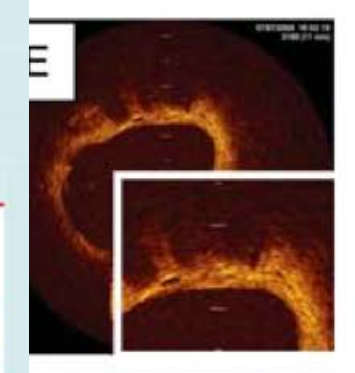
bution; (B) concave lumen shape;

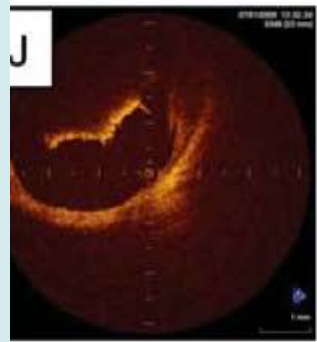
pool; (H) macrophage image; (I)

Figure | Ten complex optical

	Univariate analysis		
	OR (95% CI)	<i>P</i> -value	
Eccentric	3.30 (0.73-14.4)	0.230	
Concave shape	3.83 (0.85-16.7)	0.160	
Intimal laceration	10.20 (2.77-37.8)	< 0.001	
Rupture	4.90 (0.78-31.23)	0.325	
Microchannel	20.00 (4.78-82.6)	< 0.001	
Lipid pool	2.16 (0.57-8.06)	0.222	
TCFA	20.00 (4.78-82.6)	< 0.001	
Macrophage	9.60 (2.60-35.6)	0.001	
Calcium	1.33 (0.41-4.30)	0.890	
Thrombus	12.00 (2.18-64.32)	0.002	

I Injuggiate analysis

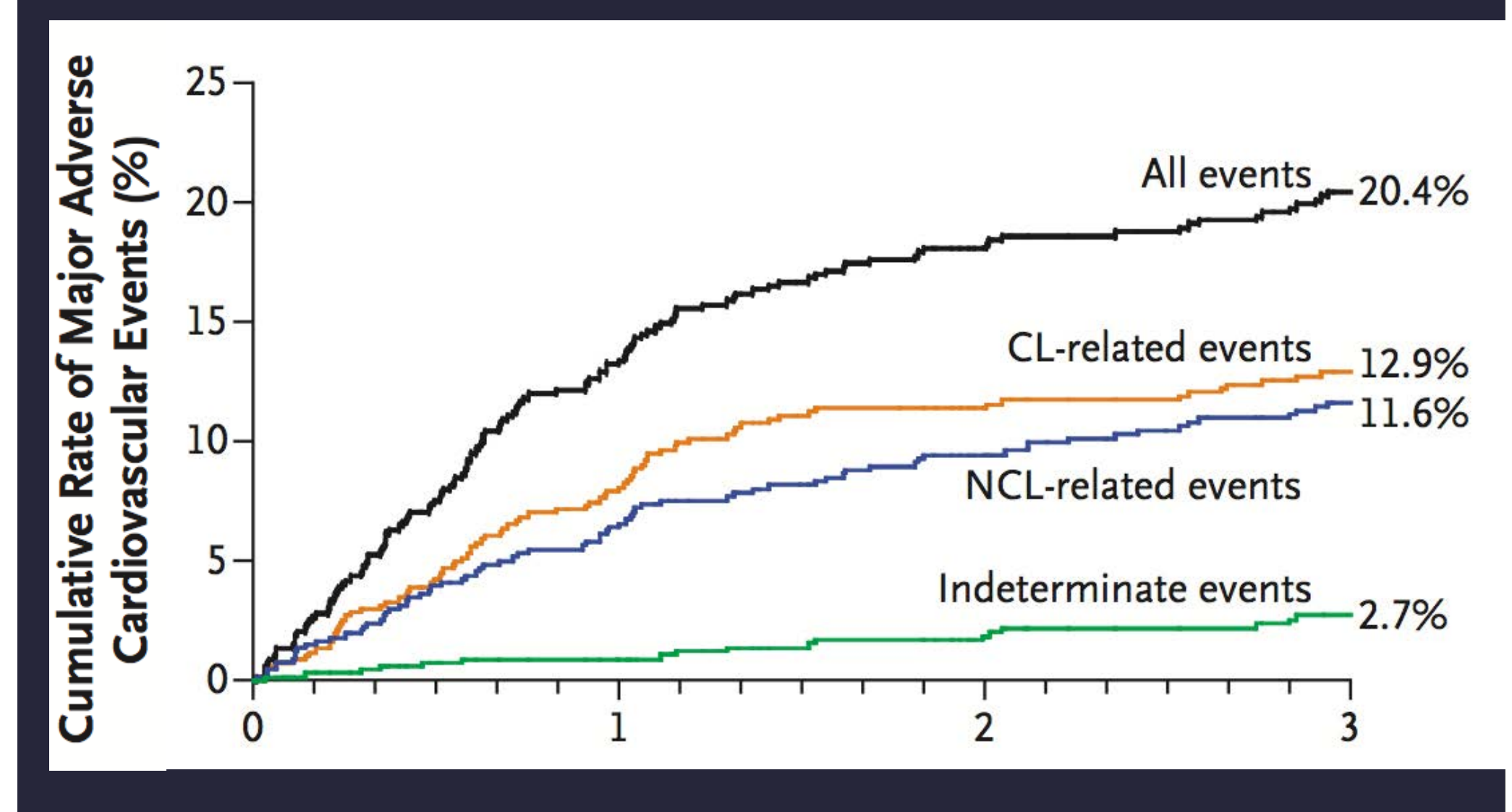




ues. (A) Eccentric plaque distri-) thin fibrous cap covering lipid

Erosions intimales (61.5 vs. 8.9%, P < 0.01), microchenneaux (76.9 vs. 14.3%, P < 0.01), Pool lipidique (100 vs. 60.7%, P = 0.02), thin-cap fibroatheroma (TCFA) (76.9 vs. 14.3%, P < 0.01), Images de dépots macrophagiques (61.5 vs. 14.3%, P < 0.01), Thrombus intraluminal (30.8 vs. 1.8%, P < 0.01)

analyse de l'amplitude, mais aussi de la fréquence du signal ultrasonore réfléchi par la structure biologique permettrait d'en définir la nature : IVUS-radiofréquence ou IVUS-VH (Virtual Histology).



PROPSECT Study 697 pts, 3,4 ans
IVUS-VH sur 6-8 cm proximaux de tous les axes coronaires
MACE : ACR, DC cardiaque IDM ou rehospitalisation pour progression de l'angor

Gregg W. Stone et al. N Engl J Med 2011;364:226-35.

Table 3. Independent Correlates of Major Adverse Cardiovascular Events Related to Nonculprit Lesions during Follow-up.*

Correlates Predictors of patient-level events†	Hazard Ratio (95% CI)	P Value	
Insulin-requiring diabetes	3.32 (1.43–7.72)	0.005	
Previous percutaneous coronary intervention	2.03 (1.15–3.59)	0.02	
Predictors of events at individual lesion sites:			
Plaque burden ≥70%	5.03 (2.51–10.11)	< 0.001	9,6%
Thin-cap fibroatheroma	3.35 (1.77–6.36)	< 0.001	4.9%
MLA ≤4.0 mm²	3.21 (1.61–6.42)	0.001	5.3%

Gregg W. Stone et al. N Engl J Med 2011;364:226-35.

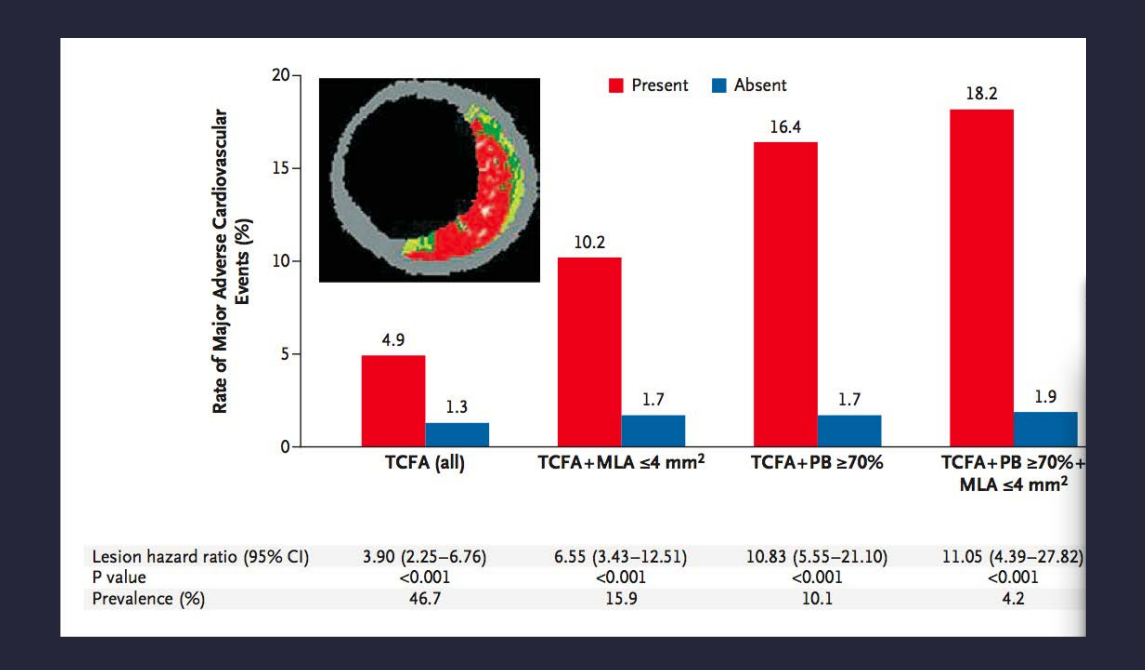


Table 3. Independent Correlates of Major Adverse Cardiovascular Events
Related to Nonculprit Lesions during Follow-up.*

Correlates	Hazard Ratio (95% CI)	P Value	
Predictors of patient-level events†			
Insulin-requiring diabetes	3.32 (1.43-7.72)	0.005	
Previous percutaneous coronary intervention	2.03 (1.15-3.59)	0.02	
Predictors of events at individual lesion sites‡			
Plaque burden ≥70%	5.03 (2.51–10.11)	< 0.001	9,6%
Thin-cap fibroatheroma	3.35 (1.77-6.36)	< 0.001	4.9%
MLA ≤4.0 mm²	3.21 (1.61–6.42)	0.001	5.3%

0.3% 4.8% 10.5% et 18.2% si 0 1 2 ou 3 critères

Effets des statines

Stanley Chia *Coron Artery Dis.* 2008 June ; 19(4): 237–242

48 patients (26 sous statines, 22 sans statines)

Plaques rompues plus rares chez les patients dejà sous statines (8 vs. 36%; P = 0.03)

Avec une tendance avoir des chapes plus épaisses (épaisseur minimale de 78 vs. 49 μ m; P = 0.07).

Takarada S, Atherosclerosis. 2009 Feb;202(2):491-7.

40 pts post IDM, OCT sur lésion non coupable : 23 statine + et 17 statine -

contrôle à 9 mois : augmentation significative de l'épaisseur de la chape sous statines

151+/-110 --> 280+/-120 microm, (p<0.01) vs 153+/-116 --> 179+/-124 microm

soit une progression de 188+/-64% vs. 117+/-39% (p<0.01) (plus marquée dans le sous groupe des chapes les plus fines)

La plaque vulnérable

- IVUS (résolution 80 microns, bonne pénétration)
 - Remodelage positif, surface de la plaque/vaisseau >40%, plaque étendu à plus de 2 quadrants, importante composante lipidique

- OCT (résolution 10 microns, pénétration 1-2 mm)
 - Détection des TCFA (Thin Cap Fibro Atheroma) avec épaisseur < à 65 microm; accumulation de macrophages, présence de microcaneaux intrapariétaux, (indexes de remodelage ratio de surfaces Plaque/ vaisseau parfois impossibles)</p>

JACC Vol. 45, No. 8, 2005 April 19, 2005:1348-53

Coronarien

Diagnostique d'ATS coronaire : I critère

ATCD d'IDM

tableau clinique d'Angor avec ischémie inductible

Athérosclérose coronaire identifiée qq soit la méthode (coro/TDM*/IRM...)

*Score calcique elevé (100) 41% chez l'homme de 40 à 49 ans (13% chez la femme) 68% chez l'homme de 50 à 59 ans (27% chez la femme)

JACC Vol. 45, No. 8, 2005 April 19, 2005:1348-53

Coronarien

Diagnostique d'ATS coronaire : I critère

ATCD d'IDM

tableau clinique d'Angor avec ischémie inductible

Athérosclérose coronaire identifiée qq soit la méthode (coro/TDM*/IRM...)

JACC Vol. 45, No. 8, 2005 April 19, 2005:1348-53

Coronarien

Niveau de risque selon FEVG, test d'effort (ischémie, rythme, capacité d'effort*),

*10 METS 35 ml02/Kg-min si <50 ans 9 METS 31 ml02/Kg-min entre 51 et 59 ans 8 METS 28 ml02/Kg-min entre 60 et 69 ans 7 METS 24 ml02/Kg-min après 70 ans

JACC Vol. 45, No. 8, 2005 April 19, 2005:1348-53

Coronarien

Niveau de risque selon FEVG, test d'effort (ischémie, rythme, capacité d'effort*),

Risque modérément élevé (tous les critères) :

FEVG > 50%,

capacité d'effort*,

absence d'ischémie inductible, d'arythmie ventriculaire complexe (TV, doublets ou ESV > 10%),

de sténose coronaire (>50% sur artère coronaire majeure) et revascularisation complète.

Risque substantiellement élevé (I critère) :

FEVG<50%,

ischémie, arythmie ventriculaire inductibles sténose >50% sur une artère coronaire majeure

Sports classe IA IIA (...plus si tres bas risque) Education (podromes...), réévaluation annuelle

Sports classe IA Education (podromes...), réévaluation annuelle

Cesser entrainement / compétition jusqu'à recupération complète, 4 semaines après stent, selon consolidation sternale après PAC

III. High (>50% MVC)	Bobsledding/Luge*†, Field events (throwing), Gymnastics*†, Martial arts*, Sailing, Sport climbing, Water skiing*†, Weight lifting*†, Windsurfing*†	Body building*†, Downhill skiing*†, Skateboarding*†, Snowboarding*†, Wrestling*	Boxing*, Canoeing/Kayaking, Cycling*†, Decathlon, Rowing, Speed-skating*†, Triathlon*†
ic Component II. Moderate 20-50% MVC)	Archery, Auto racing*†, Diving*†, Equestrian*†, Motorcycling*†	American football*, Field events (jumping), Figure skating*, Rodeoing*†, Rugby*, Running (sprint), Surfing*†, Synchronized swimming†	Basketball*, Ice hockey*, Cross-country skiing (skating technique), Lacrosse*, Running (middle distance), Swimming, Team handball
Increasing Static Component I. Low II. Moderate (<20% MVC) (20-50% MVC)	Billiards, Bowling, Cricket, Curling, Golf, Riflery	Baseball/Softball*, Fencing, Table tennis, Volleyball	Badminton, Cross-country skiing (classic technique), Field hockey*, Orienteering, Race walking, Racquetball/Squash, Running (long distance), Soccer*, Tennis
,	A. Low (<40% Max O₂)	B. Moderate (40-70% Max O ₂)	C. High (>70% Max O ₂)
Increasing Dynamic Component —			

Que dire au patient...?